

การวิเคราะห์ข้อมูลความเร็วลมในเขตพื้นที่จังหวัดกาฬสินธุ์

Wind Speed Data Analysis in Kalasin Province, Thailand

พนิดา สุขสมพร้อม¹, เกียรติพิชา ตั้งใจจิต², สุภาชัย พลน้ำเตี่ยง³

Panida Suksomprom¹, Kiatfa Tangchaichit², Supachai Polnumtiang³

Received: 10 July 2019; Revised: 13 August 2019; Accepted: 10 September 2019

บทคัดย่อ

งานวิจัยนี้ได้ทำการศึกษาศักยภาพความเร็วลมเฉพาะเขตพื้นที่บริเวณสถานีวัดความเร็วลมภายในจังหวัดกาฬสินธุ์ภาคตะวันออกเฉียงเหนือตอนบนของประเทศไทย โดยเส้าวัดลมแบบโครงถักมีความสูง 120 เมตรเหนือพื้นดิน (AGL) และติดตั้งอุปกรณ์วัดความเร็วลม (Anemometer) และทิศทางลม (Wind Vane) ที่ระดับความสูง 60, 90 และ 120 เมตร ทำการบันทึกข้อมูลมทุก ๆ 10 นาทีที่เก็บลงบันทึกข้อมูล (Data Logger) เป็นระยะเวลา 5 ปีติดต่อกัน เริ่มตั้งแต่เดือนมกราคม 2555 ถึงเดือนธันวาคม 2559 ข้อมูลที่ได้จะนำมาวิเคราะห์ในเชิงสถิติโดยใช้การกระจายตัวแบบไวบูลล์ (Weibull Distribution Function) เป็นรายปี รายเดือน และรายวัน ผลการศึกษาจะเห็นได้ว่าความเร็วลมเฉลี่ยทั้งปี คือ 3.12, 3.62 และ 3.93 เมตรต่อวินาที กำลังลม (Power Density, W/m²) มีค่าตั้งแต่ 37, 56 และ 72 วัตต์ต่อตารางเมตร ที่ระดับความสูง 60, 90 และ 120 เมตรเหนือพื้นดินตามลำดับ ทิศทางการกระจายลมส่วนใหญ่จากทิศทางตะวันออกเฉียงเหนือไปยังทิศใต้ ในช่วงเวลากลางคืนความเร็วลมจะสูงกว่าในช่วงเวลากลางวัน และมีค่า shape (k), scale parameter (c) เฉลี่ยที่ตำแหน่งนี้มีค่าอยู่ในช่วง 2.00 ถึง 2.05 และ 3.60 ถึง 4.50 เมตรต่อวินาที จากการวิเคราะห์ข้อมูลนั้นที่ได้จากการศึกษาในครั้งนี้ถือได้ว่าความเร็วลมมีค่าค่อนข้างต่ำ ดังนั้นกังหันลมขนาดเล็ก จึงเหมาะสมสำหรับแหล่งพลังงานทางเลือก เพื่อลดค่าใช้จ่ายทางด้านพลังงานและมลพิษต่อไปในอนาคต

คำสำคัญ: พลังงานลม ศักยภาพลม ความเร็วลม จังหวัดกาฬสินธุ์ ไวบูลล์ฟังก์ชัน

Abstract

The objective of this research was to study wind speed data at Kalasin province in the upper northeast of Thailand. Wind speed and direction at 60, 90 and 120 meter height above ground level (AGL) on a 120 m Guy Mast triangle tower, were recorded and analyzed for the 5-year period from January 2012 until December 2016. The Weibull Distribution Function was used to analyze data yearly, monthly, and by daily periods. The wind speeds were found to be 3.12, 3.62 and 3.93 m/s and Power Density in this area was 37, 56, 72 W/m² at 60, 90 and 120 meter height AGL respectively. The wind direction was mostly from between northeast to south and had shape (k) and scale parameter (c) mean values between 2.00 to 2.05 and 3.60 to 4.50 m/s.

Keywords: Wind Energy, Wind Potential, Wind Speed, Kalasin Province, Weibull Function

¹ นักศึกษาปริญญาโท, ²ผู้ช่วยศาสตราจารย์, ³ นักศึกษาปริญญาเอก, คณะวิศวกรรมศาสตร์ มหาวิทยาลัยขอนแก่น อำเภอเมือง จังหวัดขอนแก่น 40002, ศูนย์วิจัยและพัฒนาพลังงานทดแทน มหาวิทยาลัยขอนแก่น (AERD-KKU)

¹Masters student, ²Assistant Professor, ³PhD student, Faculty of Engineering, Khon Kaen University, Muang District, Khon Kaen, 40002, Thailand.

* Corresponding author; Assistant Professor Dr.Kiatfa Tangchaichit, Faculty of Engineering, Khon Kaen University, Muang District, Khon Kaen, 40002, Thailand., Center for Alternative Energy Research and Development, Khon Kaen University (AERD-KKU). kiatfa@kkumail.com

บทนำ

พัลส์งานถือได้ว่าเป็นสิ่งสำคัญที่ทุกประเทศทั่วโลกให้ความสนใจและเป็นปัจจัยสำคัญในการขับเคลื่อนเศรษฐกิจ เป็นสิ่งจำเป็นต่อการดำเนินธุรกิจของประชาชน เนื่องจากความต้องการทางด้านพัลส์งานมีความต้องการเพิ่มมากขึ้นเมื่อเทียบกับจำนวนประชากรที่เพิ่มขึ้นในทุกปี ซึ่งในปัจจุบันได้มีการพัฒนางานวิจัยด้านพัลส์งานทางเลือกอื่น ๆ เช่น พัลส์งานแสงอาทิตย์ พัลส์งานชีวมวล หรือแม่แทร์ฟัลส์ลงลมที่หาได้ในประเทศไทย¹ เป็นต้น เพื่อเสริมสร้างความมั่นคงทางด้านพัลส์งานให้ประเทศไทยมีพัลส์งานใช้อย่างเพียงพอและมีประสิทธิภาพ

พัลส์งานลมถือเป็นพัลส์งานทางเลือกруปแบบหนึ่ง เป็นพัลส์งานหมุนเวียนที่เกิดขึ้นเองตามธรรมชาติ สะอาด ใช้แล้วไม่หมุดไป ไม่สร้างมลพิษทางสิ่งแวดล้อม ดังนั้นการใช้พัลส์งานหมุนเวียนซึ่งเป็นพัลส์งานทางเลือกมาทดแทนพัลส์งานที่ใช้ในปัจจุบัน เพื่อลดการใช้น้ำมันเชื้อเพลิงและก๊าซธรรมชาติที่ต้องนำเข้าจากต่างประเทศ นับว่าทางเลือกที่ดี เนื่องจากพัลส์งานลมใช้ต้นทุนการผลิตค่อนข้างสูง เป็นพัลส์งานที่ไม่ได้เกิดขึ้นสม่ำเสมอตลอดทั้งปี เพราะฉะนั้นจึงมีความจำเป็นที่จะต้องทำการศึกษา เก็บข้อมูลเป็นระยะเวลานานอย่างน้อย 1 ปีขึ้นไป² เพื่อที่จะได้ผลการประเมินที่ถูกต้อง แม่นยำ ใกล้เคียงกับศักยภาพพัลส์งานลมที่เกิดขึ้นจริงในพื้นที่ เพื่อประโยชน์และความคุ้มค่าในการลงทุน หากผลการประเมินศักยภาพพัลส์งานลมในพื้นที่มีศักยภาพที่จะผลิตไฟฟ้าได้ก็จะก่อให้เกิดประโยชน์อย่างสูง ในกรณีตั้งฟาร์มกังหันลมเพื่อผลิตไฟฟ้านั้นต้องมีการประเมินศักยภาพพัลส์งานลมก่อน ดังเช่น ในประเทศไทย³ สหรัฐอเมริกา⁴ เยอรมัน⁵ และอินเดีย⁶ เป็นต้น สำหรับประเทศไทยได้มีการศึกษาวิจัยเพื่อประเมินศักยภาพของแหล่งพัลส์งานลมในช่วง 10 กว่าปีที่ผ่านมาจากหน่วยงานต่างๆ โดยอาศัยการวิเคราะห์ข้อมูลอุตุนิยมวิทยา การจัดทำแผนที่พัลส์งานลม และการศึกษาเพื่อประเมินศักยภาพพัลส์งานลมเฉพาะแห่ง⁷⁻¹⁰ และในปัจจุบันกำลังการผลิตกระแสไฟฟ้าที่ผลิตได้จากการพัลส์งานลมของประเทศไทยอยู่ที่ 627.82 เมกะวัตต์ ในปี พ.ศ.2560¹¹ และรัฐบาลได้ทำการตั้งเป้าหมายให้ได้ 3,002 เมกะวัตต์ ในปี พ.ศ.2036¹² ตามแผนพัฒนาพัลส์งานทดแทนและพัลส์งานทางเลือกของประเทศไทย ดังนั้นงานวิจัยนี้จึงนำเสนอส่วนหนึ่งของผลการศึกษาพื้นที่ในเขตภาคตะวันออกเฉียงเหนือตอนบนของประเทศไทยซึ่งเป็นพื้นที่รับสูงและมีความเป็นไปได้ในการการศึกษาวิจัยเฉพาะแห่ง “การวิเคราะห์ข้อมูลความเร็วลมในเขตพื้นที่จังหวัดกาฬสินธุ์” โดยได้นำเสนอผลการศึกษาความเร็วลมเฉลี่ยตลอดระยะเวลา 5 ปี เป็นรายปี รายเดือนและรายวัน และทิศทางการกระจายลมส่วนใหญ่ เพื่อการพัฒนาเทคโนโลยีพัลส์งานลม และเพื่อ

เป็นฐานข้อมูลประกอบการตัดสินใจที่จะพัฒนาการติดตั้งฟาร์มกังหันลมเพื่อผลิตไฟฟ้าต่อไปในอนาคต

วัตถุประสงค์

เพื่อประเมินศักยภาพพัลส์งานลมเฉพาะแห่งในเขตพื้นที่โรงเรียนบ้านคำบอน ตำบลลียงอุ้ม อำเภอท่าคันจังหวัดกาฬสินธุ์ และเพื่อประเมินความเป็นไปได้ในการลงทุนติดตั้งกังหันลมเพื่อผลิตไฟฟ้าในเชิงพาณิชย์

ทฤษฎีที่เกี่ยวข้อง

ความเร็วลมเฉลี่ยและค่าเบี่ยงเบนมาตรฐานที่ระดับความสูง 60, 90 และ 120 เมตร หาได้จากสมการที่ (1) และ (2)

$$V_m = \frac{1}{n} \left[\sum_{i=1}^n V_i \right] \quad (1)$$

$$\sigma^2 = \frac{1}{n-1} \sum_{i=1}^n (V_i - V_m)^2 \quad (2)$$

เมื่อ V_m คือ ความเร็วเฉลี่ย
 n คือ จำนวนข้อมูลทั้งหมด
 σ คือ ค่าของ Standard Deviation (SD)

สัมประสิทธิ์แรงเฉือนของลม (Wind Shear Coefficient (WSC), α)

หาได้จากการสัมพันธ์ระหว่างความสูงของตำแหน่งวัดลม และความเร็วลมที่วัดได้จากสมการที่ (3)

$$\frac{V_1}{V_2} = \left(\frac{h_1}{h_2} \right)^\alpha \quad (3)$$

เมื่อ h คือ ระดับความสูง

การวิเคราะห์การกระจายตัวของความเร็วลม ไบบูลล์ฟังก์ชัน (Weibull Distribution Function)

ไบบูลล์ฟังก์ชันประกอบไปด้วยพารามิเตอร์ที่สำคัญ 2 ตัว คือ Shape Parameter (k) และ Scale Parameter (c) การหาค่า k , c และการแจกแจงความถี่สะสม (Cumulative distribution, $F(v)$) สามารถหาได้จากสมการที่ (4-8) ค่าพารามิเตอร์รูปร่าง k มีความสัมพันธ์กับทิศทางและความเร็วลมของลม ถ้า k มีค่าต่ำแสดงว่ามีความเร็วลมต่ำ และ

พารามิเตอร์ระดับ c สัมพันธ์กับอัตราเร็วลมเฉลี่ยถ้าความเร็วลมเฉลี่ยมีค่าสูง c ค่าจะสูงตามไปด้วย

$$f(V) = \left(\frac{k}{c}\right) \left(\frac{V}{c}\right)^{k-1} \exp\left[-\left(\frac{V}{c}\right)^k\right] \quad (4)$$

$$k = \left(\frac{\sigma}{V_m}\right)^{-1.086} \quad (5)$$

$$c = \frac{V_m}{\Gamma(1+1/k)} \quad (6)$$

$$\Gamma(x) = \int_0^{\infty} t^{x-1} \exp(-t) dt \quad (7)$$

$$F(v) = 1 - \exp\left[-\left(\frac{v}{c}\right)^k\right] \quad (8)$$

- เมื่อ Γ คือ Gamma Function
 k คือ พารามิเตอร์รูปร่างของไวบูลล์
 c คือ พารามิเตอร์ระดับของไวบูลล์
 v คือ ความเร็วของลม (เมตรต่อวินาที)
ความหนาแน่นของกำลังลม (Wind Power Density (WPD), W/m^2)

เป็นปริมาณต่อพื้นที่หน้าตัด กำลังลมจะแปรผันกับลมสามกับความเร็วลม สิ่งที่มีผลต่อความเร็วลมคือ ความเร็ว (V) และความหนาแน่นของอากาศ (ρ_{Air}) ดังสมการที่ (9)

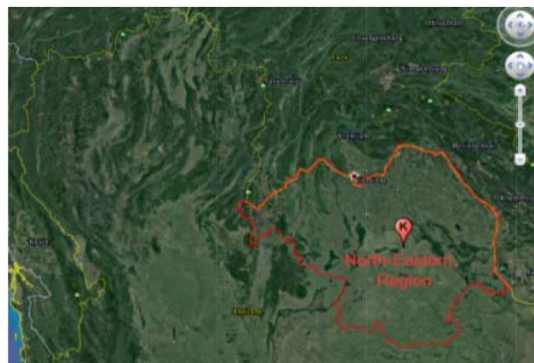


Figure 1 Wind measurement site (K)

$$WPD = \frac{1}{2} \rho_{Air} V^3 \quad (9)$$

วิธีการดำเนินงานวิจัย

เสาติดตามแบบโครงถักสามเหลี่ยมความสูง 120 เมตร ติดตั้งที่บริเวณจังหวัดกาฬสินธุ์ ละติจูด (Deg) 16.900 °N ลองติจูด (Deg) 103.329 °E และติดตั้งอุปกรณ์วัดความเร็วแบบถ่าย (Anemometer) และทิศทางลม (Wind Vane) ที่ระดับความสูง 60, 90 และ 120 เมตรเหนือพื้นดินตามลำดับ ดังใน Figure 1-2 และ Table 1 ข้อมูลทุก ๆ 10 นาทีจะถูกส่งมาบันทึกลงบันทึกข้อมูล (Data Logger) เป็นระยะเวลา 5 ปีติดต่อกัน เริ่มตั้งแต่เดือนกรกฎาคม 2555 ถึง เดือนธันวาคม 2559 ข้อมูลเหล่านี้จะถูกนำมาวิเคราะห์ในการสถิติ ค่าเฉลี่ยรายปี รายเดือน และรายวัน รวมทั้งการกระจายตัวของข้อมูลแบบไวบูลล์¹³⁻¹⁵ เพื่อหาค่า Shape และ Scale Parameter ในแต่ละระดับความสูงที่ต่างกันเนื่องจากความสูงที่ต่างกันทำให้เกิดผลกระทบต่อค่าของค่าคงที่ที่ใช้ในแบบจำลองไวบูลล์ .RWD ด้วยความถี่ 1 วันต่อ 1 ไฟล์ และ จำนวนจะถูกนำเข้าสู่กระบวนการแปลงไฟล์เป็นไฟล์ นามสกุล .TXT จากนั้นจะนำไปใช้กับโปรแกรม Microsoft Excel และทำการวิเคราะห์ต่อไป

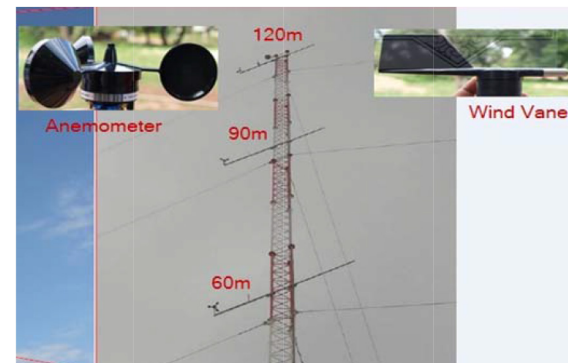


Figure 2 Wind mast and all equipments

Table 1 Wind mast and all equipments

Model	Detail	Manufacturer
120 m mast tower	Guyed Lattice Mast	NRG System
Anemometer NRG#40C	3-cup type, Measuring range 1-96 m/s	
Wind Vane NRG#200P	Measuring range 0-360 degree, -55 to 60 degree C	

ผลการวิจัยและอภิปราย

ข้อมูลความเร็วลมเฉลี่ยรายปี (Annual Mean Wind Speed)

ผลการวิเคราะห์ข้อมูลความเร็วลมเฉลี่ยเป็นระยะเวลา 5 ปีติดต่อกัน เริ่มตั้งแต่เดือนมกราคม 2555 ถึง เดือนธันวาคม 2559 ที่ระดับความสูง 60, 90 และ 120 เมตรเหนือพื้นดิน (AGL) โดยพบว่าความเร็วลมเฉลี่ยที่บริเวณสถานีวัดความเร็วลมภายในจังหวัดกาฬสินธุ์มีค่าอยู่ในช่วง 3.12- 3.93 เมตรต่อวินาที ผลจากการวิจัยนี้พบว่า ที่ระดับความสูง 120 เมตรจะมีความเร็วลมสูงสุดและลดลงตามระดับความสูงที่ 90 เมตร และที่ระดับความสูง 60 เมตร ตามลำดับ การกระจายตัวของทิศทางลมที่ระดับความสูงทั้ง 3 ระดับดังแสดงใน Figure 3 ทิศทางลมถูกแจกแจงโดยใช้โปรแกรม WIND PLOT¹⁶ ทิศทางลมส่วนใหญ่พัดมาจากทางทิศตะวันออกเฉียงเหนือไปยังทิศใต้ ซึ่งเป็นมรสุมประจำฤดูพื้นที่ของประเทศไทย ความเร็วลมเฉลี่ยที่ได้จัดว่าเป็นความเร็วลม Class 1¹⁷ ซึ่งถือว่าเป็นความเร็วลมที่ค่อนข้างต่ำ

ข้อมูลความเร็วลมเฉลี่ยรายเดือน (Monthly Wind Speed Variation)

ความเร็วลมเฉลี่ยรายเดือนในแต่ละปีตั้งแต่ พ.ศ.2555 ถึง พ.ศ. 2559 รวม 5 ปี ดังแสดงใน Figure 4 พบว่าความเร็วลมค่อนข้างคงที่ตั้งแต่เดือนมกราคมถึงสิงหาคมและความเร็วลมเฉลี่ยมีความเร็วสูงสุดในช่วงฤดูร้อน เริ่มตั้งแต่เดือนมีนาคมถึงเดือนพฤษภาคม จะมีแนวโน้มลดลงในช่วงฤดูฝนเดือนมิถุนายนถึงเดือนตุลาคม และความเร็วลมในฤดูหนาวมีค่าเพิ่มขึ้นเล็กน้อยจากฤดูฝนเดือนพฤษภาคมถึงเดือนกุมภาพันธ์ ดังแสดงใน Table 2

ข้อมูลความเร็วลมเฉลี่ยรายวัน (Daily Wind Speed)

ลมจะมีความเร็วในช่วงเวลากลางคืนมากกว่าช่วงเวลากลางวันในทุกระดับความสูงเหนือพื้นดิน ซึ่งช่วงเวลากลางวันความเร็วลมค่อนข้างเสถียร ดังแสดงใน Figure 5 และ Table 3 ซึ่งเปรียบเทียบ ความเร็วลมในช่วงเวลากลางวันและกลางคืนในแต่ละระดับความสูง

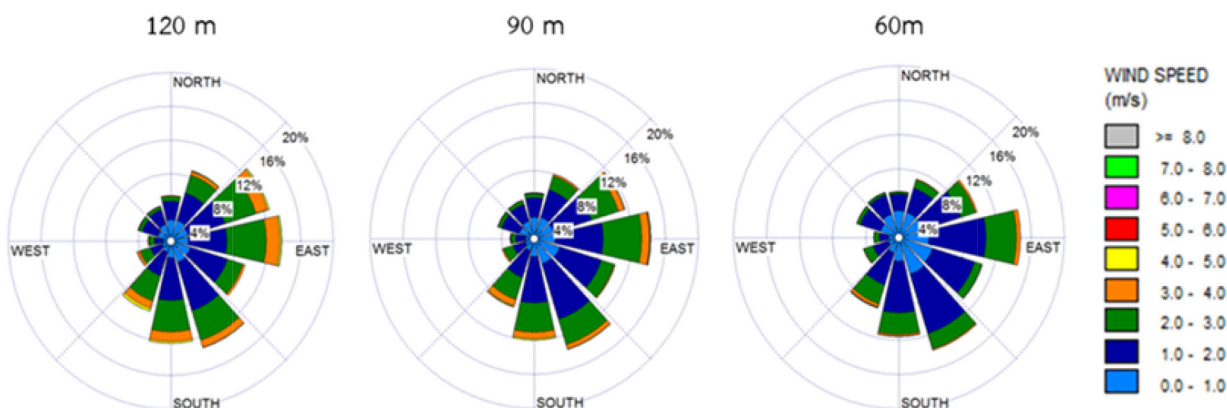


Figure 3 Wind direction at 120, 90, 60 m AGL

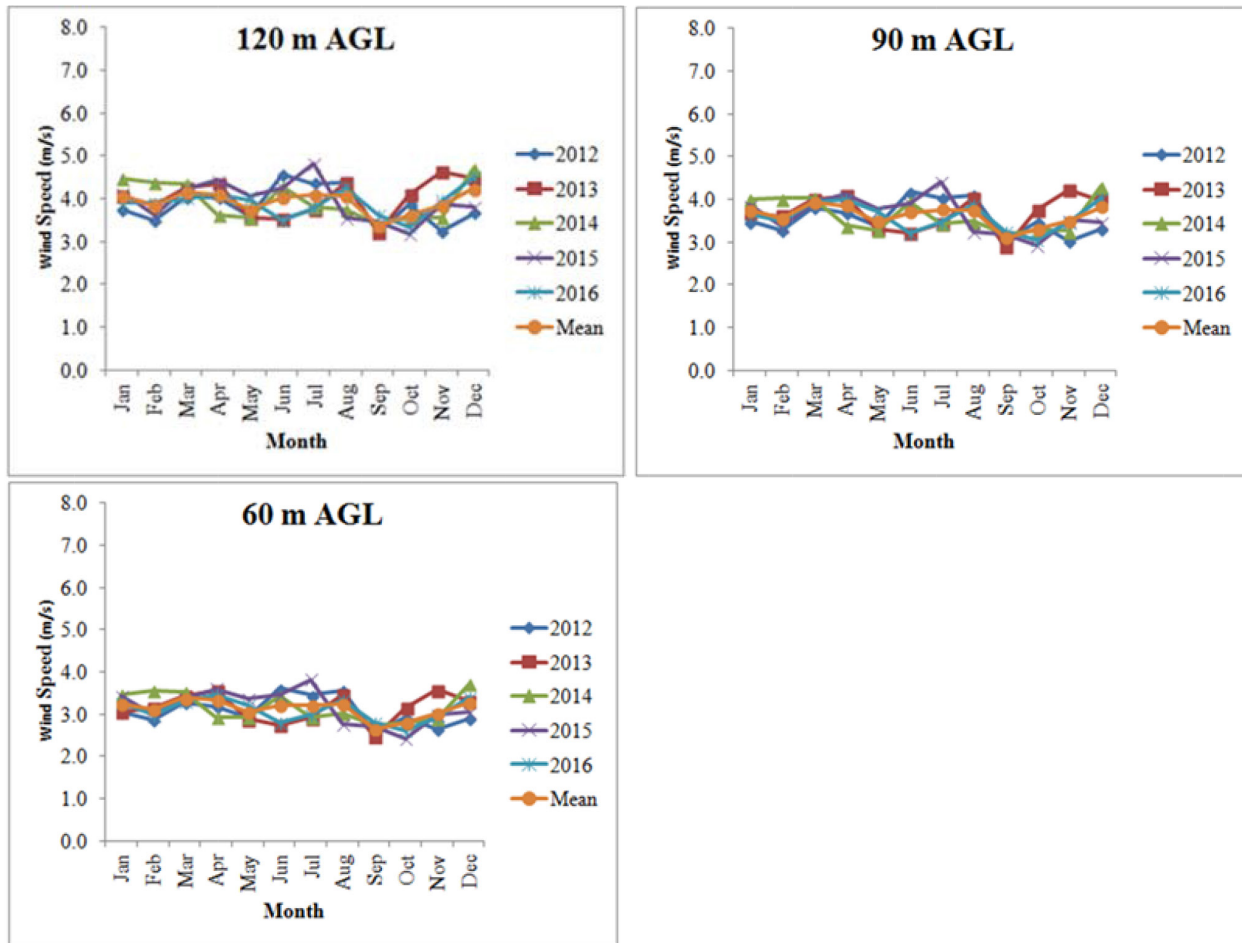


Figure 4 Monthly wind speed variation

Table 2 Seasonal wind speed distribution (m/s)

Seasonal	Height above ground level (m)		
	120 m	90 m	60 m
Winter	3.99	3.65	3.16
Summer	4.00	3.75	3.26
Rainy	3.83	3.51	3.01

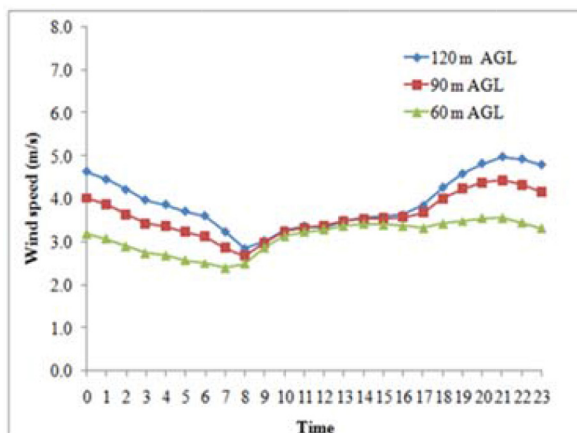


Figure 5 Time of day

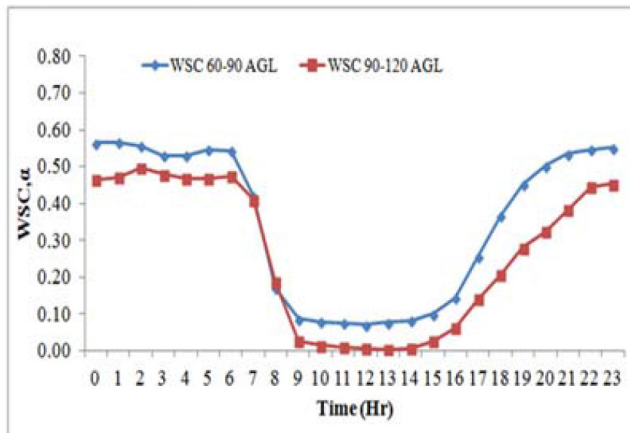


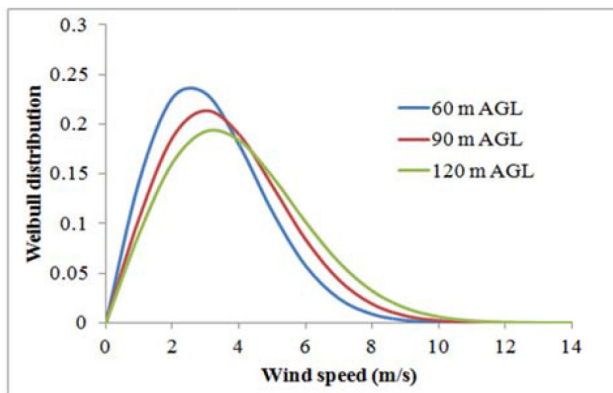
Figure 6 Wind Shear Coefficient

Table 3 wind speed variation in day and night (m/s)

Time	Height above ground level (m)		
	120 m	90 m	60 m
Day (07.00-18.00 น.)	3.46	3.36	3.14
Night (18.00-07.00 น.)	4.29	3.86	3.04

แรงเฉือนลม (Wind Shear Coefficient (WSC))

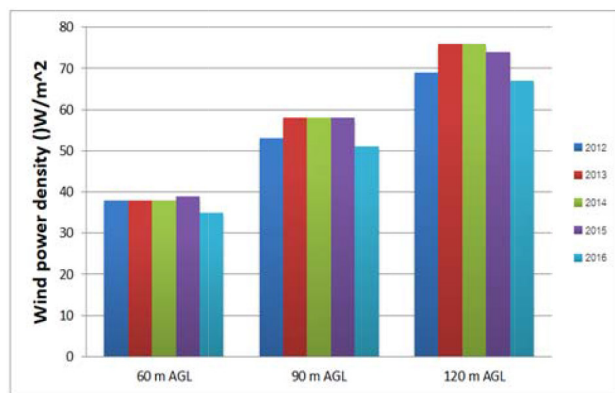
Figure 6 แรงเฉือนลมแสดงให้เห็นว่า WSC เฉลี่ยของบริเวณสถานีวัดความเร็วลม ระหว่าง 60-90 เมตร คือ 0.35 WSC ระหว่าง 90-120 เมตร คือ 0.26 WSC เริ่มเพิ่มขึ้น

**Figure 7** Weibull distribution curve 2012-1016

ในเวลา 16.00 น. จนถึง 0.00 น. (เที่ยงคืน) และค่อนข้างเสถียรจนกราฟทั้งเวลา 6.00 น. – 9.00 น. ลดลงอย่างจับพลันภายในเวลา 3 ชั่วโมง ส่วนสาเหตุที่ WSC ระหว่าง 60-90 เมตร มีค่ามากเนื่องมาจากการไดร์บอิกซิพลของความชุกของพื้นผิวดิน (Surface Roughness)

การแจกแจงการกระจายตัวของข้อมูลเฉลี่ย

จากการใช้ไวบูลล์ฟังก์ชันทำการกระจายตัวของความเร็วลมที่ระดับความสูง 60, 90 และ 120 เมตรเหนือพื้นดิน ดังแสดงใน Figure 7 โดยมี Shape และ Scale พารามิเตอร์เฉลี่ย ดัง Table 4

**Figure 8** Wind Power Density (W/m^2)**Table 4** Summary shape (k), scale parameter (c, m/s) and power (P, W/m^2) 2012-16

Year	Parameter	Height above ground level (m)		
		120	90	60
2012	k	2.10	2.11	2.02
	c	4.5	4.1	3.5
	P	69	53	38
2013	k	2.07	2.09	2.01
	c	4.6	4.2	3.6
	P	76	58	38
2014	k	2.04	2.05	2.01
	c	4.5	4.2	3.6
	P	76	58	38
2015	k	2.00	2.02	1.98
	c	4.5	4.2	3.6
	P	75	58	39
2016	k	2.09	2.07	1.97
	c	4.4	4.0	3.5
	P	67	51	35
Annual	k	2.05	2.07	2.00
	c	4.5	4.1	3.6
	P	72	56	37

Table 5 Wind Power Density (W/m²)

Height above ground level (m)	Wind speed (m/s)	Wind Power Density (W/m ²)
120	3.93	72
90	3.62	56
60	3.12	37

กำลังลม (Wind Power Density, W/m²)

กำลังลมเฉลี่ยที่ความสูงต่างๆ ดังแสดงใน Table 5 กำลังลมที่ความสูง 120 เมตร สูงกว่าที่ความสูง 90 และ 60 เมตร ตามลำดับและในปี 2558 พลังงานลมมีค่าสูง ดัง Figure 8 กำลังลมจะแปรผันกำลังสามกับความเร็วลม ซึ่งเป็นสมการ “ไม่เชิงเส้น (Non-Linear)” เมื่อลมมีความเร็วมาก กำลังลมก็จะมีค่ามากตามไปด้วย อีกประการหนึ่งคือ กำลังลมจะแปรผันตรงกับความหนาแน่นของอากาศพื้นที่บนภูเขาระหว่างหน้าและหลังภูเขานี้จะมีผลโดยตรงต่อกำลังลมที่ได้อย่างไรก็ตามกำลังลมที่วัดได้ในเขตพื้นที่นี้ยังถือได้ถือได้จัดว่าอยู่ในระดับที่ต่ำ¹⁸ ไม่เหมาะสมกับการติดตั้งกังหันลมสำหรับการใช้งานเชิงพาณิชย์โดย $\bar{P}/A < 100 \text{ W/m}^2$ ต่ำ, $\bar{P}/A \approx 400 \text{ W/m}^2$ ปานกลางและ $\bar{P}/A > 700 \text{ W/m}^2$ ตีมาก

สรุปผลการวิจัย

งานวิจัยนี้ได้ทำการศึกษาศักยภาพความเร็วลมเฉพาะเขตพื้นที่บริเวณสถานีวัดความเร็วลมภายในจังหวัดกาฬสินธุ์ เป็นระยะเวลา 5 ปีติดต่อกันเริ่มตั้งแต่เดือน มกราคม 2555 ถึงเดือนธันวาคม 2559 เพื่อศึกษาความเร็วลม ไวนูลล์ พารามิเตอร์ ทิศทางลม และกำลังลม พบว่าความเร็วลมเฉลี่ยที่ระดับความสูง 60, 90 และ 120 เมตรเหนือพื้นดิน (AGL) คือ 3.12, 3.62 และ 3.93 เมตรต่อวินาที ตามลำดับ ในขณะที่ทิศทางลมส่วนใหญ่การกระจายตัวจากทิศตะวันออกเฉียงเหนือไปยังทิศใต้ในช่วงเวลากลางคืนความเร็วลมจะสูงกว่าในช่วงเวลากลางวันค่า shape (k), scale parameter (c) เฉลี่ยอยู่ในช่วง 2.00 ถึง 2.05 และ 3.60 ถึง 4.50 เมตรต่อวินาที และในส่วนของกำลังลม (Power Density, W/m²) มีค่าอยู่ระหว่าง 37, 56 และ 72 วัตต์ต่อตารางเมตร ที่ระดับความสูง 60, 90 และ 120 เมตรตามลำดับ

จากการวิเคราะห์ข้อมูลความเร็วลมและกำลังลมที่วัดได้ ซึ่งจัดอยู่ใน Wind Class 1 เท่านั้นถือได้ว่าความเร็วลมมีค่าค่อนข้างต่ำ อย่างไรก็ตามกังหันลมขนาดใหญ่นั้นยังไม่เหมาะสมกับการติดตั้งสำหรับการใช้งานเชิงพาณิชย์ เนื่องจาก การติดตั้งกังหันลมเพื่อผลิตไฟฟ้าในเชิงพาณิชย์มีความเร็วลมเฉลี่ยทั้งปี 6 เมตรต่อวินาที ที่ความสูง 50 เมตรเหนือพื้นดิน

ข้อไป¹⁷

ดังนั้นความเร็วลมนี้กังหันลมขนาดเล็กจึงเหมาะสมสำหรับแหล่งพลังงานทางเลือกเพื่อลดค่าใช้จ่ายทางด้านพลังงานและลดพิษต่อไปในอนาคต โดยอาจนำไปประยุกต์ใช้งานร่วมกับการใช้พลังงานแสงอาทิตย์เพื่อใช้ในการเกษตร เช่น กังหันลมขนาดเล็กเพื่อการสูบนา เป็นต้น

กิตติกรรมประกาศ

คณะผู้วิจัยขอขอบคุณสำนักงานคณะกรรมการวิจัยแห่งชาติ (วช.) และศูนย์วิจัยและพัฒนาพลังงานทดแทนมหาวิทยาลัยขอนแก่น (AERD-KKU) สำหรับการสนับสนุนทุนในการทำวิจัยในครั้งนี้ และผู้ที่มีส่วนร่วมในการดำเนินงานในงานวิจัยนี้ทุกท่าน

เอกสารอ้างอิง

1. Energy Vision. สถานการณ์พลังงาน, [ระบบออนไลน์], http://www.dede.go.th/download/state_61/frontpage-jan_nov60.pdf, เข้าดูเมื่อวันที่ 10/04/2562.
2. iEnergyGuru. พลังงานลม: ลักษณะเฉพาะของลม และเครื่องมือวิเคราะห์, [ระบบออนไลน์], <https://ienergylife.com/2015/07/พลังงานลม>
3. Fa Liua, et al. On wind speed pattern and energy potential in China, *Applied Energy*, vol. 236, 2019, pp. 867–876.
4. Acker T.L., William S.K., Duque E.P.N., Brummels G. and Buechler J. Wind Resource Assessment in the State of Arizona: Inventory, Capacity Factor and Cost, *Renewable Energy*, vol. 32, 2007, pp. 1453–1466.
5. Christopher and JungDirkSchindler. The role of air density in wind energy assessment – A case study from Germany, *Energy*, Vol. 171, 15 March 2019, pp. 385-392.
6. Sanjay Kumar and KaraAtulSharmab. Wind power developments in India, *Renewable and Sustainable Energy Reviews*, Vol 48, August 2015, pp. 264-275
7. วรพงศ์ พวงแก้ว และคณะ. การประเมินศักยภาพของแหล่งพลังงานลมและความเป็นไปได้ในการติดตั้งโรงไฟฟ้าพลังงานลมขนาด 0.225-0.75 เมกะวัตต์ ตามแนวชายฝั่งทะเลของจังหวัดนครศรีธรรมราชและจังหวัดสงขลา, วารสารมหาวิทยาลัยทักษิณ, ปีที่ 12 ฉบับที่ 3, ตุลาคม 2552 - มกราคม 2553

8. นานพ พุน้อย และ เกียรติพิชา ตั้งใจจิต (2556). การศึกษาศักยภาพพลังงานลมเฉพาะแหล่งในเขตภาคตะวันออกเฉียงเหนือตอนบนของประเทศไทย, วารสารวิจัย มช., ปีที่ 18 ฉบับที่ 5, หน้า 803-810
9. สุภัชัย พลน้ำเที่ยง และ เกียรติพิชา ตั้งใจจิต (2560). การวิเคราะห์ข้อมูลพลังงานลมในเขตพื้นที่จังหวัดหนองคาย, วิศวกรรมศาสตร์ ประจำปีที่ 34 ฉบับที่ 2, มิถุนายน 2560
10. สมพล ชีร์มงคลกานต์ และคณะ (2557). ศักยภาพพลังงานลมบริเวณอำเภอปากพนังและอำเภอเชียงใหม่ ของจังหวัดนครศรีธรรมราช, วารสารมหาวิทยาลัยทักษิณ, ปีที่ 17 ฉบับที่ 1, มกราคม-มิถุนายน 2557
11. สำนักงานนโยบายและแผนพลังงานกระทรวงพลังงาน. ผลการดำเนินงานด้านพลังงานทดแทน, [ระบบออนไลน์], http://www.dede.go.th/download/stat62/2_Calendar_Year_renewable_Energy_2561.pdf, เข้าดูเมื่อวันที่ 11/04/2562.
12. สำนักงานนโยบายและแผนพลังงานกระทรวงพลังงาน. แผนปฏิบัติการพัฒนาพลังงานทดแทนและพลังงานทางเลือก พ.ศ. 2558 – 2579, [ระบบออนไลน์], http://www.dede.go.th/download/files/AEDP%20Action%20Plan_Final.pdf, เข้าดูเมื่อวันที่ 11/04/2562.
13. Z.R.Shu, Q.S.Li and P.W.Chan, Statistical analysis of wind characteristics and wind energy potential in Hong Kong, *Energy Conversion and Management*, Vol.101,pp.644-657, 2015.
14. Myung Eun Lee et al, Assessment of offshore wind energy at Younggwang in Korea, *Renewable and Sustainable Energy Reviews*, Vol.21, pp. 131-141, 2013.
15. Laerte de Araojo Lima et al. Wind resource evaluation in SJC Paraba-Brazil, *Renewable and Sustainable Energy Reviews*, Vol.16, pp.474-480, 2012.
16. Wind Plot. Available, [ระบบออนไลน์], <https://www.weblakes.com>. 2017.
17. TRECA สมาคมพลังงานทดแทนสู่ชุมชนแห่งประเทศไทย. พลังงานลม, [ระบบออนไลน์], <http://www.reca.or.th/library-wind-power.aspx>, เข้าดูเมื่อวันที่ 16/04/2562.
18. Amir Dabbaghian et al., Evaluation of wind energy potential in the province of Bushehr, *Renewable and Sustainable Energy Reviews*, vol.55, 2016, pp.455-466.